

مجله علمی - پژوهشی دانشکده ادبیات و علوم انسانی دانشگاه اصفهان  
دوره دوم، شماره بیست و ششم و بیست و هفتم  
پاییز و زمستان ۱۳۸۰، صص ۲۸ - ۱۹

## بررسی و مدلسازی روند دما طی سده گذشته (مطالعه موردی ایستگاه جاسک)

دکتر محمدرضا کاویانی\* - حسین عساکر\*

### چکیده

دانسته‌های دمایی را در اجرای اهداف عملی، اقتصادی و صنعتی به خصوص در سالهای اخیر بسیار به کار می‌گیرند. هر چند تأثیرات دمایی محیط در سایر زمینه‌ها مثلاً پژوهشی نیز مهم است اما جنبه‌های جغرافیایی آن کاربرد متداول‌تری پیدا کرده است. برای مثال در برنامه‌ریزی‌های کشاورزی و نیز بسیاری از برنامه‌هایی که به مسائل زیست محیطی، بهداشتی، شهرسازی و صنعتی مربوط می‌شود، مطالعه و بررسی دما از اهمیت ویژه‌ای برخوردار است. صنعت و ترافیک نیز نمی‌تواند از تأثیرات دما برکنار باشد. در این زمینه اهمیت دما در فنون گرمسازی، ترافیک هوایی و دریایی را می‌توان نام برد. بنا به اهمیت دما در برنامه‌ریزی‌های اقتصادی - اجتماعی، مطالعه تغییرات دمایی در دوره‌های بلندمدت از مطالب موردن توجه محافل علمی است. در این تحقیق میانگین سالانه دمای جاسک جهت شناخت و ارزیابی این تغییرات مورد توجه قرار گرفته است. جاسک در  $۳۸^{\circ}$  شمالی و  $۵۷^{\circ} ۴۶'$  شرقی در منتهی الیه شرقی استان هرمزگان

قرار دارد. ارتفاع این شهر نسبت به سطح دریا حدود ۵ متر و میانگین سالانه دما در این استگاه حدود ۲۷ درجه سلسیوس است. آب و هوای این شهر در پهنه‌بندی کوپن، جزء اقلیم  $BW_S$  به شمار می‌رود.

دماجاسک طی ۱۰۶ سال گذشته (سالهای ۱۸۹۳-۱۹۹۶) روندی افزایشی نشان می‌دهد. این روند با به کارگیری شیوه‌های آماری اثبات گردید. میزان این افزایش طی دوره مذبور  $293 \pm 0 / 835 \pm 0$  درجه سلسیوس برآورد شده است. بسیاری از تغییرات کوتاه‌مدت به خصوص از سال ۱۹۵۰ به بعد حاصل تأثیر جابه‌جاوی استگاه هواشناسی، تغییر دیده‌بان، تغییر ارتفاع پناهگاه دماستخ و ... بوده است. بررسی و ارزیابی روند و فازهای دمایی و مقایسه این عناصر با تغییرات سه عامل «نوسانات اطلس شمالی»، «نوسانات جنوبی» و «کلف‌های خورشیدی» نشان می‌دهد که کمی بیش از ۲۰ درصد تغییرات بلندمدت میانگین دماجاسک با تغییرات درازمدت سه عامل مذبور قابل توجیه است.

سه فراسنج مؤثر بر تغییرات، دماجاسک را به طور همسان و یکسان تحت تأثیر قرار نمی‌دهد. نوسانات جنوبی با تأخیر یکساله و تبدیل سینوسی و کلف‌های خورشیدی با تأخیر پنج ساله دمای جاسک را تحت تأثیر قرار می‌دهند. در حالی که توده‌های اطلسی بدون هیچ تأخیری دمای جاسک را متأثر می‌سازند. همچنین رابطه دما با کلف‌های خورشیدی مشت، اما با دو عامل دیگر رابطه‌ای منفی نشان می‌دهد.

### واژه‌های کلیدی

۱- روند ۲- نوسان ۳- وردایی ۴- شب خط ۵- هموارسازی

### مقدمه

طی سده گذشته میانگین دمای کره زمین  $15 \pm 0 / 45 \pm 0$  درجه سلسیوس افزایش یافته است (۱۷) بیشتر گرمایش مذبور از دهه‌های نخستین قرن بیستم آغاز شده است اگر چه این میزان گرمایش ممکن است در نظر اول ناجیز به نظر برسد اما بررسیهای بوم‌شناسی نشان می‌دهد که تغییرات میانگین ارقام درازمدت دمای هوا حتی در صورتی که از  $1 / 20$  درجه سلسیوس هم تجاوز نکند باز واکنشهای حساسی در سیستم مذبور پدید می‌آورد. در حالی که نوسانات سالانه و فصلی از لحاظ وضعیت هوا اگر چه حاوی دامنه بزرگتر می‌باشد اما اکوسیستم‌ها را چندان تحت تأثیر قرار نمی‌دهد. بنابراین زمان تعادل و لختی اکوسیستم را می‌توان یک فرایند حفاظتی در مقابل تأثیرات کوتاه‌مدت و شدید هوا تلقی نمود.

بدین جهت گرمایش زمین به دلیل آثار محیطی و اقتصادی - اجتماعی آن از موضوعات جالب توجه محافل علمی و حتی نواده مردم طی چند دهه اخیر بوده، تحقیقات گسترده‌ای در مقیاس جهانی، ناحیه‌ای و محلی انجام گرفته است. قسمت عمده‌ای از این تحقیقات با به کارگیری روش‌های آماری سعی در شبیه‌سازی فراسنجهای اقلیمی داشته‌اند. اخیراً دانشمندان به منظور تحلیل الگوهای اقلیمی توجه خاصی به سری‌ها و مقادیر دمایی معطوف می‌دارند. از این قبیل مطالعات می‌توان به کارهای جونس و همکاران (۱۹۸۶ الف، ب، ج)، جونس (۱۹۸۸) و فولاند و همکاران (۱۹۹۰) اشاره نمود. بررسی و مطالعه تغییرات اقلیمی - دمایی از این نظر در مطالعات جغرافیایی حائز اهمیت است که جنبه‌های عمده‌ای از این تغییرات، به خصوص طی سده اخیر حاصل نقش و عملکرد انسانی (شهرسازی - جنگل‌زدایی - توسعه و رشد صنعتی و افزایش گازهای گلخانه‌ای و ...) بوده است.

کشور ما به لحاظ سابقه کوتاه در بهره‌گیری از روش‌های اندازه‌گیری مستقیم داده‌های جوئی از این نظر کمتر مورد مطالعه قرار گرفته است. در این میان فقط ایستگاههای محدودی دارای مقادیر ثبت شده طولانی هستند. از این قبیل ایستگاههای جاسک با توجه به طول دوره آماری ۱۰۴ ساله جهت مطالعه و سنجش روند دما بسیار مناسب تشخیص داده می‌شود. جاسک در ۲۵°۳۸' شمالی و ۵۷°۴۶' شرقی در جنوب شرقی ایران و در منتهی‌الیه شرقی استان هرمزگان قرار گرفته است. ارتفاع این شهر در محل ایستگاه هواشناسی ۵ متر بالاتر از سطح دریا است. آب و هوای این شهر در پهنه‌بندی کوین جزء اقلیم BWs به شمار می‌رود.

### روشها

دمای سالانه ایستگاه جاسک طی سالهای ۱۹۹۳-۱۸۹۶ مورد مطالعه قرار گرفته است. داده‌های مربوط به این دوره از سه منبع اطلاعاتی استخراج و پردازش شده‌اند.

طی دوره ۱۹۵۰-۱۸۹۳ میانگین سالانه دما از گزارش سازمان جهانی هواشناسی<sup>۱</sup> تحت عنوان: «گزارش جهانی هوا»<sup>۲</sup> استخراج شده است. در این گزارش دما به درجه فارنهایت ثبت شده است. طی این دوره سه مرحله ثبت داده‌ها را سه دیده‌بان انجام داده‌اند. دوره ۱۹۵۱ به بعد با تأسیس سازمان هواشناسی کشور، میانگین دما در این ایستگاه تحت

نظرارت این سازمان به ثبت رسیده است. اما طی سالهای ۱۹۸۰-۱۹۸۴ به دلیل آغاز جنگ تحمیلی عراق با ایران اندازه‌گیری دما به وسیله سازمان هواشناسی انجام نشده و ایستگاه جاسک طی ۵ سال مزبور تعطیل بوده است.

به منظور همخوانی دمای پیش از دهه ۵۰ و بعد از آن، دمای گزارش شده سازمان جهانی هواشناسی به درجه سلسیوس تبدیل شده است. میانگین روزانه دما طی سالهای ۱۹۸۰-۱۹۸۴ از مدیریت منابع آب استان هرمزگان دریافت گردیده و به وسیله آن دمای سالانه را در مقیاس ماههای میلادی شکل داده‌ایم. از موارد قابل توجه در بررسی دمای جاسک تغییر ارتفاع پناهگاه دماست (جمعه اسکرین) و به تبع آن تغییر ارتفاع مخزن دماست (دماست) می‌باشد. تا سال ۱۹۸۳-۱۹۸۴ ارتفاع پناهگاه ۱/۲۵ متر و ارتفاع مخزن دماست نیز ۱/۳۵ متر بوده است. از آن پس ارتفاع پناهگاه ۲ متر و مخزن دماست ۲/۱ متر از سطح زمین تغییر پیدا کرد. تغییر ارتفاع مخزن دماست بر دمای ثبت شده تأثیر آشکاری داشته است. این امر به دلیل تأثیر فوق العاده زیاد اثری بازتاب زمین بر پناهگاه و دماست می‌باشد. در این مطالعه اهداف زیر مورد توجه قرار گرفته است.

- ۱- بررسی وجود روند در دمای سده اخیر که به روشهای زیر انجام گرفته است:
- مطالعه اختلاف دو نیمة مقادیر

- بررسی شبی خط وایازی دما طی زمان

۲- هموارسازی میانگین‌های دمای سالانه به منظور شناخت رفتارهای نوسانی و تغییرات دیگر. هدف کلی در این بخش درک و تصوری از چگونگی تغییرات روند و افت و خیزهای اطراف آن طی سده گذشته است.

۳- ارزیابی اثر سه عامل «نوسانات اقیانوس اطلس شمالی»<sup>۱</sup>، «شاخصهای نوسانات جنوبی»<sup>۲</sup> و «شمارکلفهای خورشیدی»<sup>۳</sup> در توضیح و توجیه برخی تغییرات بلندمدت، از اهداف دیگر تحقیق است. مشخصات آماری دما و سه فراسنج مورد بررسی در جدول ۱ ارائه شده است.

نوسانات اطلس شمالی بخشی از وردایی<sup>۴</sup> اقلیم در حوضه اطلس و الگویی پایدار از وردایی چرخش عمومی جو در این ناحیه است. این پدیده به یک نوسان

1- North Atlantic Oscillation (NAO)

2- Southern Oscillation Index

3- Sunspots Number

4- Variation

نصفالنهاری در جرم جو گفته می‌شود که مرکز عمل آن در نزدیکی ایسلند و بر روی منطقه جنب حاره (از آزور تا شبه جزیره ایبری) است. هنگامی که آنماليهای کم فشار ناحیه ایسلند و سرتاسر شمالگان کاهش یافته و کم فشار عمیق‌تر از معمول ایجاد شود و در عین حال آنماليهای فشار زیاد در منطقه جنب حاره اقیانوس اطلس افزایش یافته و پرفشار قوی‌تر از معمول ایجاد گردد، نوسانات اطلس شمالی در فاز مثبت است. در طی فاز منفی نوسانات اطلس شمالی، یک مرکز پرفشار ضعیف‌تر از معمول در جنب حاره ایجاد شده و کم فشار ناحیه ایسلند نیز ضعیف‌تر از معمول خواهد بود. بنابراین یک شاخص عمومی برای ارزیابی نوسانات اطلس شمالی اختلاف فشار نرمال شده سطح دریا بین منطقه جنب حاره (آزور) و کم فشار جنب قطبی (ایسلند) است. همبستگی تغییرات سالانه این پدیده با تغییرات میانگین سالانه دما طی  $10^{\circ}\text{C}$  سال دوره آماری  $320^{\circ}\text{C}$ - به دست آمده است، این مقدار همبستگی با توجه به تعداد داده‌ها در سطح  $100^{\circ}\text{C}$  معنی دار است.

تغییر فشار سطح دریا و تأثیر آن بر دما و بارش باعث نوساناتی در نیمکره جنوبی می‌شود که به علت تفکیک این نوسانات از نوسانات اقیانوس اطلس شمالی با اصطلاح نوسانات جنوبی خوانده می‌شود (۱). پدیده نوسان جنوبی، افت و خیزی در شدت گردش عمومی جو و جریانهای اقیانوسی بین حاره‌ای است. این افت و خیز گسترده بر اثر تبادل هوای بین پرفشار جنوب شرقی اقیانوس آرام و کم فشار استوایی اندونزی تولید می‌شود (۲). والکر برای نوسانات جنوبی شاخصی تعریف نمود (۴)، این شاخص براساس اختلاف فشار در دو منطقه تاهیتی و جزایر داروین تعریف می‌شود. با منفی شدن مقادیر این شاخص، پدیده الینینو<sup>۱</sup> و در صورت مثبت شدن آن لانینو<sup>۲</sup> حاکمیت پیدا می‌کند. رابطه تغییرات سالانه این شاخص با تغییرات سالانه دما در جاسک  $146^{\circ}\text{C}$ - است و در سطح  $137^{\circ}\text{C}$  معنی دار است.

تغییرات کمی تابش خورشید حاصل فعالیت دوره‌ای لکه (کلف)‌های خورشیدی است. این پدیده شاخص تغییرات عمدہ‌ای در سطح خورشید می‌باشد. به این ترتیب بین لکه‌های خورشیدی و شعله‌افشانی انفجاری خورشید رابطه نزدیکی وجود دارد. رابطه مزبور منفی است.

اگر چه چگالی انرژی خورشیدی نقش زیادی در اقلیم دارد، اما برای اینکه این تغییرات بر اقلیم تأثیر بگذارد باید آثار آن بر سطح وسیعی انعکاس یابد. یکی از محیطهایی که می‌تواند آثار تغییر چگالی تابش خورشید را در سطح وسیعی گسترش دهد اقیانوسهاست. تغییر دمای آب اقیانوسها می‌تواند باعث تغییراتی بر دمای اتمسفر شود. لازم به یادآوری است که اقیانوسها با تأخیر حدوداً چهار ساله به تغییرات چگالی خورشید پاسخ می‌دهند (۳). همبستگی تغییرات فعالیت کلفهای خورشیدی و دمای جاسک  $+0/1379$  است. این میزان ضریب همبستگی با توجه به طول دوره آماری در سطح  $+0/163$  معنی‌دار است.

### ویژگیهای عمومی و بررسیهای اولیه آماری

با توجه به جدول شماره ۱ میانگین سالانه دما در جاسک  $27^{\circ}\text{C}$ ، انحراف معیار  $0/496^{\circ}\text{C}$  درجه سلسیوس و ضریب تغییرات آن  $1/84$  درصد است. ضریب چولگی و کشیدگی به ترتیب برابر است با  $0/041$  و  $0/046$ .

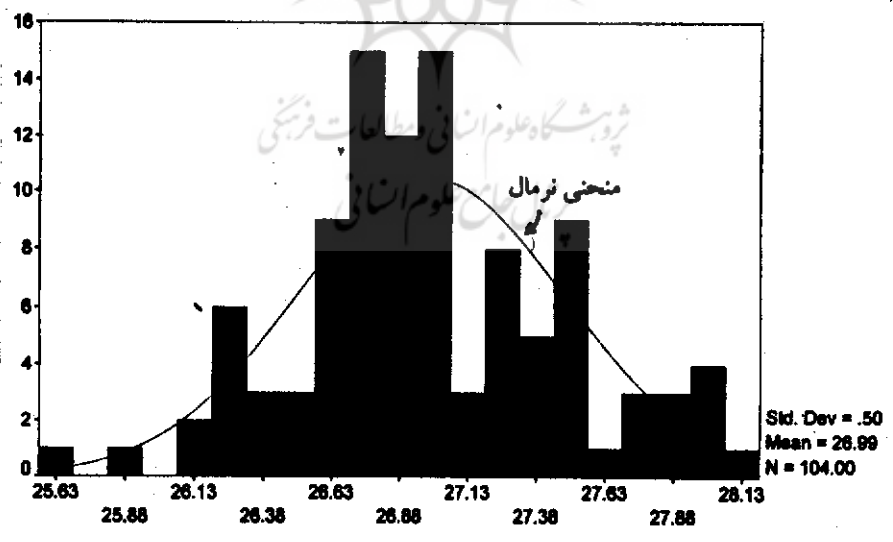
جدول ۱- مشخصات آماری دمای جاسک و فراسنج‌های مورد بررسی طی  $1996-1993$

فراستنج	میانگین	واریانس	انحراف معیار	ضریب تغییرات	چولگی	کشیدگی	حداقل	حداکثر	دامنه
دماهی جاسک	$26/986$	$0/246$	$0/496$	$1/84$	$0/146$	$0/041$	$25/6$	$28/15$	$2/552$
نوسانات اطلس شمالی	$0/174$	$0/228$	$0/488$	$280/46$	$-0/063$	$-0/037$	$-1/12$	$1/12$	$2/252$
نوسانات جنوبی	$-0/824$	$47/37$	$4/882$	$835/19$	$0/04$	$0/16$	$-16/75$	$20$	$36/75$
کلفهای خورشیدی	$59/61$	$2241/29$	$47/342$	$79/42$	$0/863$	$-0/107$	$1/4$	$189/85$	$188/45$

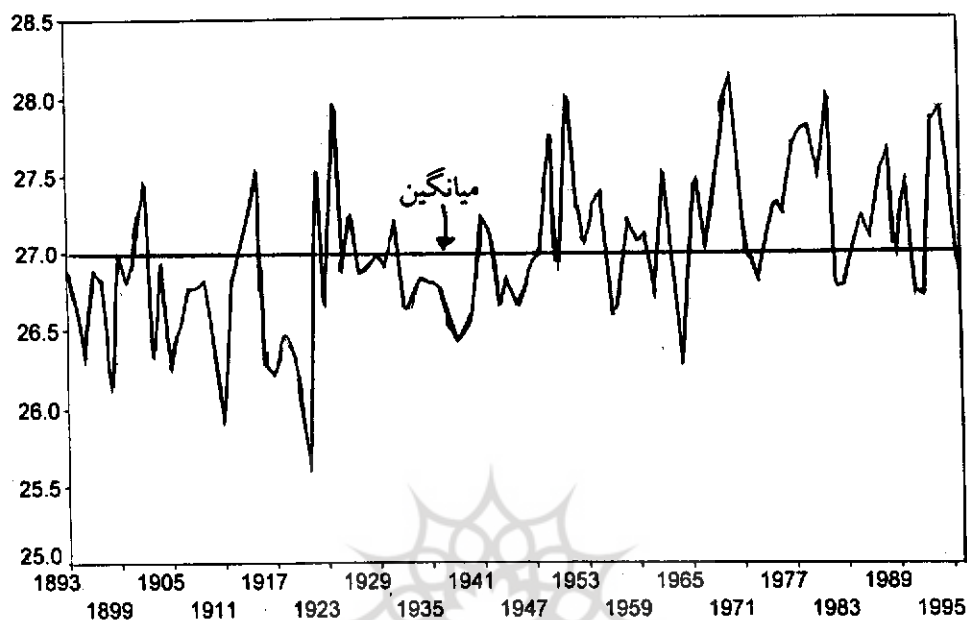
توزیع فراوانی میانگین دما به وسیله بافت‌نگار (هیستوگرام) مشخص شده است (نمودار ۱). همان‌گونه که واضح است، دامنه دما در جاسک ۲۸/۶۱-۲۵/۶۱ (۲/۵۵ درجه سلسیوس) می‌باشد. بیشترین فراوانی وقوع دما در دامنه ۲۷-۲۶/۷ درجه سلسیوس (۳۷/۵ درصد فراوانی‌ها) می‌باشد. در این ایستگاه علی‌رغم اینکه تواتر (سامد) دامنه‌های دمای بالا و پایین در دو طرف خط میانگین کم می‌باشد، ولی فراوانی دماهای بالاتر از میانگین بیش از فراوانی دماهای پایین‌تر از میانگین است.

### تغییرات میانگین‌های سالانه دما

با توجه به نمودار ۲ دمای جاسک، افت و خیزهای فراوانی را تجربه نموده است. همان‌گونه که در نمودار مشهود است تداوم سالهای پایین‌تر از میانگین در فاصله سالهای ۱۸۹۳ تا ۱۹۲۱ غلبه بیشتری نسبت به سالهای بالاتر از میانگین دارد و از سال ۱۹۷۰ تا ۱۹۹۶



نمودار ۱- بافت‌نگار دمای سالانه جاسک



نمودار ۲- میانگین دمای سالانه در جاسک طی سالهای ۱۸۹۳-۱۹۹۶

دمای بالاتر از میانگین بیشتر از دمای پایین‌تر از میانگین به وقوع پیوسته است. و در حد فاصل این دو دوره، دما در اطراف میانگین در نوسان است واضح است که علاوه بر نوسانات، تمایل عمومی دما نیز افزایشی به نظر می‌رسد.

### تغییرات بلندمدت دما (رونده)

تغییرات آرام و یکنواخت در دما را روند گویند. گرانجر، روند را به صورت ترکیبی از مؤلفه‌های فرکانسی که طول موج آن از طول سری مشاهده شده تجاوز می‌کند، تعریف می‌نماید (۱). بنابراین طبیعی است که روند را حالتی کمابیش پایدار از افزایش یا کاهش بدانیم. برآورد روند در سریهای اقلیمی به دلیل اهمیت علمی و عملی آن است. چه، سیستمهای انسانی وابسته به عوامل اقلیمی (کشاورزی، صنایع، شهرسازی، و خانه‌سازی و ...) براساس فرض ثبات و پایداری اقلیم طراحی شده و عمل می‌کنند. به منظور بررسی روند از دو روش به شرح زیر بهره گرفته شده است:

### ۱- مقایسه اختلاف میانگین دو نیمة آماری

ساده‌ترین روش بررسی تغییرات بلندمدت محاسبه اختلاف بین میانگین دو نیمه سریهاست (۹) که به روش زیر قابل محاسبه است:

$$\beta_1 = 1/m \{ 1/m \sum Y_2 - (1/m) \sum Y_1 \}$$

مقدار  $1/m$  خارج از کروشه میزان تغییرات به ازای هر سال،  $\sum Y_1$  و  $\sum Y_2$  نیز به ترتیب مجموع دمای نیمة اول و دوم را نشان می‌دهد.  
از آنجا که مقادیر حاصل از این فرمول تحت تأثیر تغییرات شدید و اتفاقی (واریانس) در هر نیم دوره است میانگین‌های دو نیمه با فرض همبسته بودن آن دو براساس روش ناپارامتری و با نرم‌افزار SPSS/WINDOWS محاسبه شده و اختلاف دو نیمه در سطح ۹۵٪ با جدول توزیع نرمال مقایسه شده است:

نتایج حاصل، عدم همخطی را نشان می‌دهد. زیرا میزان همبستگی دو نیمه ۰۴٪ به دست آمده است. این مقدار همبستگی با آماره  $t$  دو طرف در سطح ۹۵٪ معنی‌دار نیست. بنابراین اختلاف دو نیمه با آماره  $t$  در سطح صفر معنی‌دار است.  
دو نیمة دوره آماری ۴۷٪ درجه سلسیوس با هم اختلاف دارند. بنابراین براساس این روش، سالانه ۰۰۰۹ درجه سلسیوس افزایش دما در جاسک به وقوع می‌پیوسته است.

### ۲- بررسی شبی خط دما

روش پیشین در بررسی تغییرات تدریجی توانایی ضعیفی دارد. به منظور تصویر این گونه تغییرات تدریجی و حتی مقطعي، خطی راست و به روش کمترین مربعات خطاهای وايازی دما ( $T$ ) بر زمان ( $Y$ ) را محاسبه می‌کنیم، شبی اين خط که گویای نوع و میزان روند است، به روش زیر محاسبه می‌شود (۴):

$$\beta_2 = \sum (Y - \bar{Y}) T / \sum Y (Y - \bar{Y})^2$$

در روش محاسبه شبی خط اگر باقی‌مانده وايازی تصادفی بوده یعنی خودهمبستگی آنها کم، میانگین صفر و واریانس ثابت داشته باشد خطای استاندارد  $\beta$  به این شرح برآورد می‌شود:

$$SE(\beta_2) = \sqrt{\frac{(\sum (T-a-b))^2}{(n-2)} \sum (Y - \bar{Y})^2} = \sqrt{[12 \sum (T-a-b)Y] / (n-2)n(n^2-1)}$$

در این فرمول:

چنانکه واضح است و در مخرج کسرهای بالا نیز مشهود است تغییرات شبیب خط یعنی افزایش تدریجی دما تحت تأثیر حجم داده‌هاست. چه، فرونی داده‌ها احتمال معنی‌داری مقادیر کم شبیب را نیز تضمین می‌کند زیرا وجود شبیب در داده‌های با طول مدت زیاد (حتی هنگامی که مقدار شبیب کم است) حکایت از وجود روند دارد.

آزمون فرض صفر ( $H_0: \beta_2 = 0$ ) که عدم وجود شبیب را گواهی می‌دهد بر اساس  $B/SE(\beta_2)$  بنا نهاده شده است. صحت فرض صفر بر این ایده استوار است که  $\beta_2$  توزیعی مشابه  $t$  استیومنت با  $n-2$  درجه آزادی داشته باشد. مقادیر حاصل از روش‌های فوق در سطح ۹۵٪ برای  $\beta_2$  مساوی ( $0.0026$ ) و برای  $SE(\beta_2)$  برابر ( $0.001491$ ) به دست آمد. با مقایسه  $t$  محاسبه شده و  $t$  جدول روند افزایشی دما در جاسک به اثبات می‌رسد. بر این اساس طی سده اخیر سالانه  $0.008026$  و طی  $10^4$  سال گذشته  $0.00834704$  درجه سلسیوس به دمای جاسک افزوده شده است. محاسبه فاصله اطمینان برای  $\beta_2$  برآورد حداقل و حداقل افزایش دما به ازای هر سال را نشان می‌دهد. مقادیر حاصل از محاسبه فاصله اطمینان  $0.0052$  تا  $0.00052$  درجه سلسیوس افزایش سالانه دمای را نشان می‌دهد. یعنی افزایش دما طی  $10^4$  سال گذشته در جاسک  $0.00542$  تا  $0.000293$  درجه سلسیوس بوده است.

### بررسی عوامل مؤثر بر فازهای دمایی جاسک

شناخت نوسانات دمایی به کمک هموارسازی امکان‌پذیر است. این شیوه علاوه بر فازهای دمایی قادر است روند را نیز نمایش دهد. هموارسازی شیوه‌ای آماری-ترسیمی برای تخفیف نوسانات در یک سری زمانی است. این روش به منظور حذف نوسانات موضعی در دامنه‌ای مشخص و مورد نظر به کار گرفته می‌شود. یعنی ضمن کم کردن دامنه تغییرات، فاز را ثابت نگه می‌دارد. در واقع این روش یک نوع صافی یا میانگین متحرک است که در آن به مشاهدات دورتر، وزن کمتر و به مشاهدات نزدیکتر وزن بیشتری داده می‌شود (18, 19, 20). هانسن و لبدف (1988) در تصویر نحوه تغییرات سده اخیر در سطح جهانی، این روش را به نحو مفیدی به کار گرفته‌اند، بر این اساس و به شیوه ارائه شده در سازمان جهانی هواشناسی (1966) ضرایب میانگین متحرک به این شرح حاصل شده‌اند.

$$M = 0.24T + 0.22T \pm_1 + 0.12T \pm_2 + 0.05T \pm_3 + 0.01T \pm_4$$

این ضرایب نوسانات ده سال و بیشتر را نشان داده و نوسانات ده سال و کمتر را حذف می‌نماید. در فرمول فوق:

$M$  = مقادیر هموار شده

$T$  = دما در یک سال معین

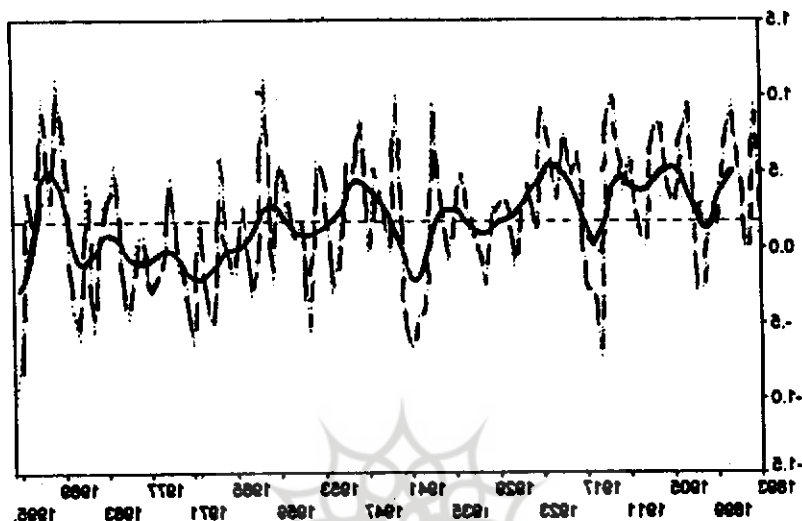
$i \pm T$  = دما در  $i$  سال قبل یا بعد است

نتایج حاصل از کاربرد صافی فوق برای میانگین سالانه دمای جاسک، نوسانات اطلس شمالی، نوسانات جنوبی و کلف‌های خورشیدی در نمودار (۱/۳) و (۲/۳) ارائه شده است. دیده می‌شود کلیه فراسنج‌های مورد بررسی طی دوره آماری مورد مطالعه سه فاز را گذرانده‌اند. مشخصات این فازها در جدول ۲ ارائه شده است:

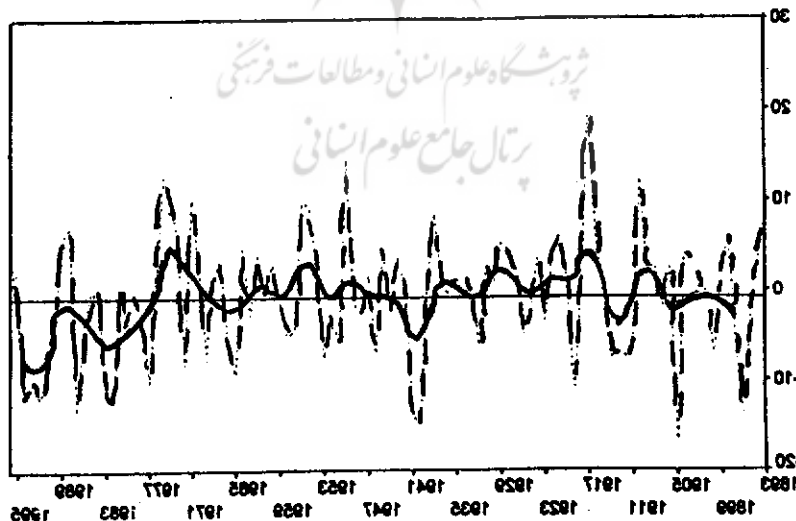
همان‌طور که در نمودار (۱/۴) و (۲/۴) و جدول ۲ مشهود است، گرچه فازهای دمایی و فازهای فراسنج‌های دیگر به‌طور همزمان به وقوع نپیوسته است، اما عموماً تقارن زمانی نسبی در کلیه فراسنج‌ها با میانگین سالانه دما دیده می‌شود. از مقایسه میانگین‌ها در هر فاز نتایج زیر حاصل می‌شود:

طی فاز نخست میانگین فاز همه فراسنج‌ها بجز نوسانات اطلس شمالی پایین‌تر از میانگین کل خود بوده است. در فاز دوم همه فراسنج‌ها میانگینی بالاتر از میانگین کل را تجربه نموده‌اند. در فاز سوم میانگین سالانه دما در جاسک و متوسط سالانه تعداد کلف‌های خورشیدی میانگینی بالاتر از میانگین کل داشته‌اند، در حالی که نوسانات شمالی و جنوبی میانگینی پایین‌تر از میانگین کل را تجربه کرده‌اند. شبی خط تغییرات در فاز اول برای تمامی فراسنج‌ها منفی و در فاز دوم برای همگی مثبت است؛ اما در فاز سوم رابطه بین دما و تعداد کلف‌های خورشیدی همسان ولی با نوسانات جنوبی و شمالی رابطه معکوس دارد. به نظر می‌رسد در شرایطی که میانگین‌های هر سال بالاتر یا پایین‌تر از میانگین کل باشد نوع رابطه یا اثر هر عامل بر روند دمای جاسک متفاوت باشد.

نوسانات اطلس شمالی

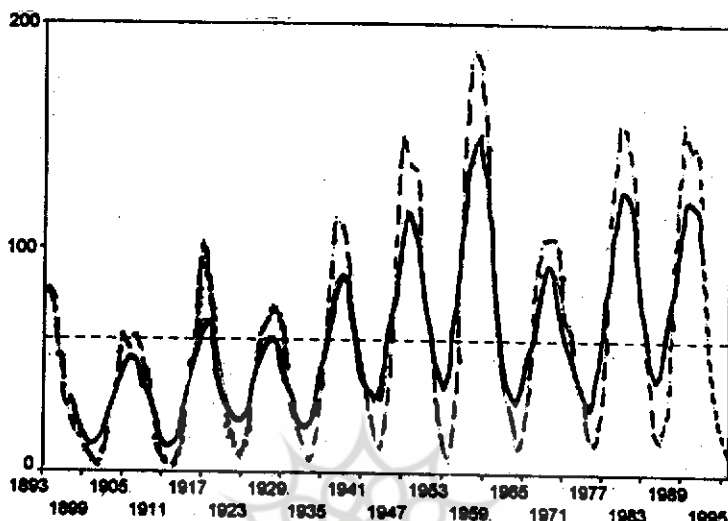


نوسانات جنوبی

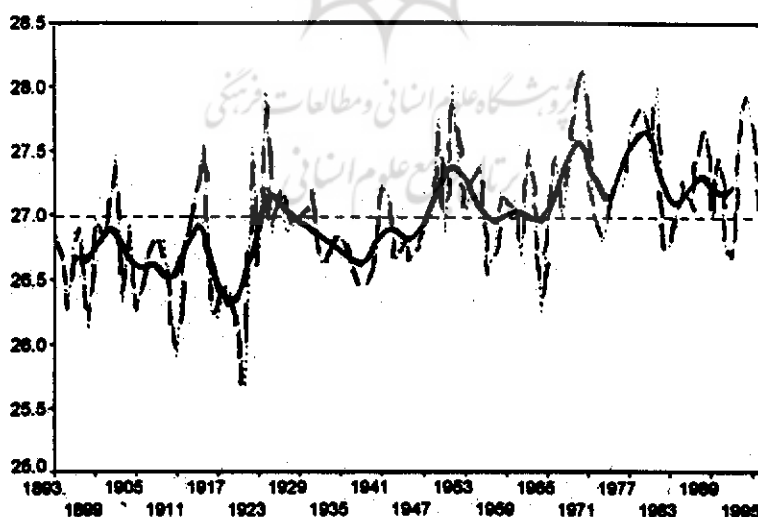


نمودار ۱/۳- مقادیر هموار شده تغییرات میانگین های سالانه فراستخ های مورد بررسی

### کلفهای خورشیدی

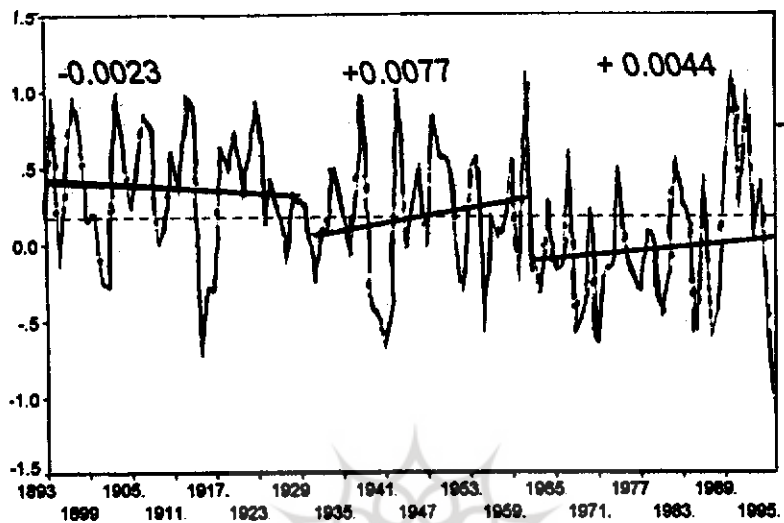


میانگین دمای جاسک

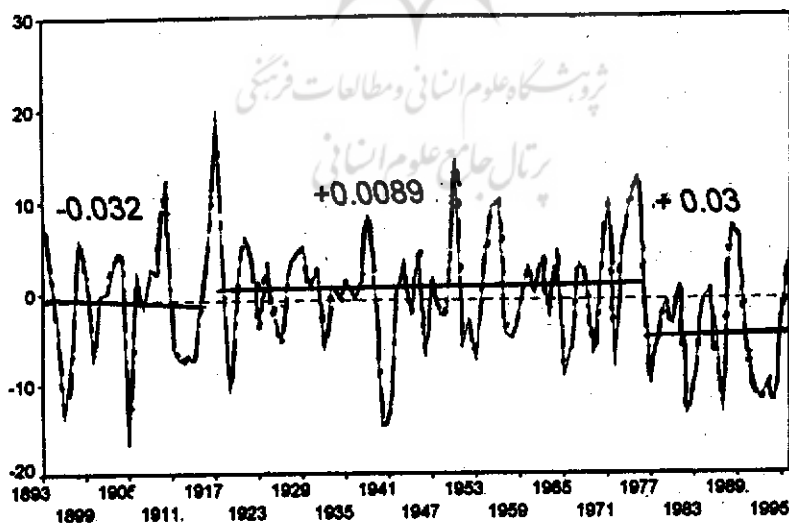


نمودار ۲/۲- مقادیر هموار شده تغییرات میانگین های سالانه فراسنج های مورد بررسی

نوسانات اطلس شمالی

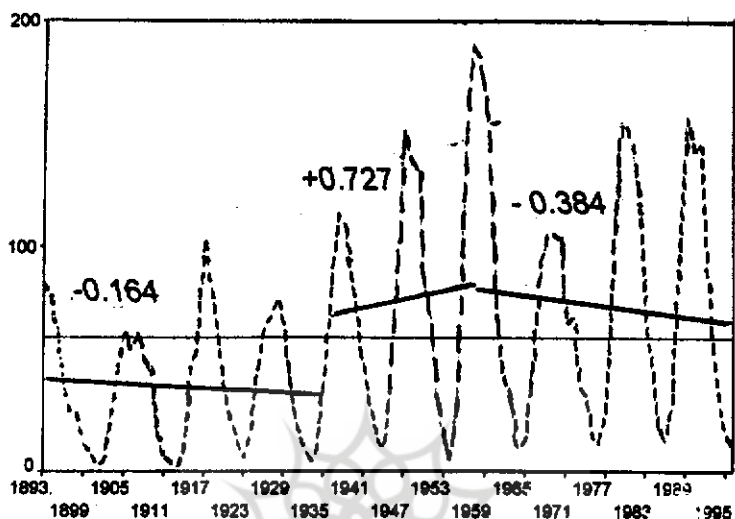


نوسانات جنوبی

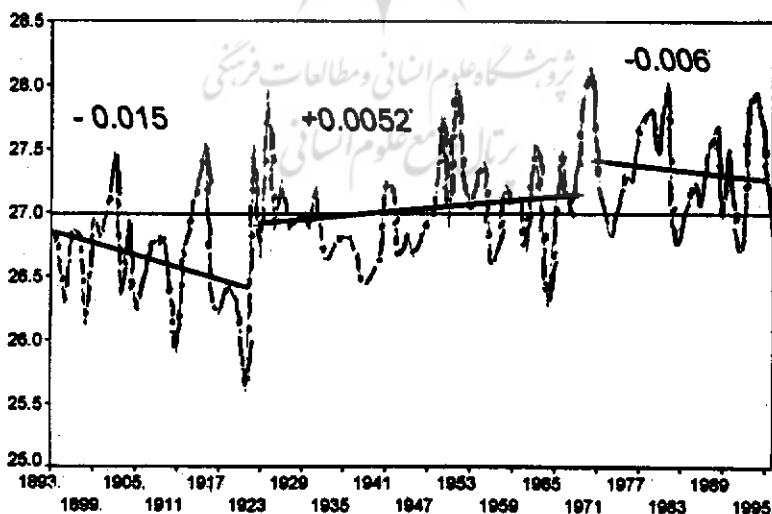


نمودار ۴/۱ - شیب خط نازهای سه‌گانه اقلیمی در فواصل های مورد بررسی

### کلفهای خورشیدی



میانگین دمای جاسک



نمودار ۴/۲- شیب خط فازهای سه‌گانه اقلیمی در فرآیندهای مورد بررسی

جدول ۲- ویژگیهای فازهای دمایی جاسک و فراسنج‌های اقلیمی مورد بررسی

فراسنجد	شیب خط	میانگین	دوره	فاز
دمای جاسک	-۰/۰۱۵۴۲۷	۲۶/۶۲۰	۱۸۹۳-۱۹۲۱	اول
نوسانات شمالی	-۰/۰۰۲۲۵۸	۰/۳۵۹	۱۸۹۳-۱۹۲۹	
نوسانات جنوبی	-۰/۰۳۲۴۲۸	-۱/۰۱	۱۸۹۳-۱۹۱۶	
کلف‌های خورشیدی	-۰/۱۶۴	۳۷/۶۳	۱۸۹۳-۱۹۳۵	دوم
دمای جاسک	۰/۰۰۵۱۸۸	۲۷/۰۱۵	۱۹۲۲-۱۹۶۹	
نوسانات شمالی	۰/۰۰۷۶۸	۰/۱۷۹	۱۹۳۰-۱۹۶۱	
نوسانات جنوبی	۰/۰۰۸۸۷۵	۰/۵۵	۱۹۱۴-۱۹۷۶	
کلف‌های خورشیدی	۰/۷۲۷	۷۶/۶۱	۱۹۲۶-۱۹۵۷	سوم
دمای جاسک	-۰/۰۶۰۱۹	۲۷/۳۲	۱۹۷۰-۱۹۹۶	
نوسانات شمالی	۰/۰۰۴۳۷۲	-۰/۰۲۷	۱۹۶۲-۱۹۹۶	
نوسانات جنوبی	۰/۰۲۹۸۲۵	-۴/۷۱	۱۹۷۷-۱۹۹۶	
کلف‌های خورشیدی	-۰/۲۸۴	۷۴/۲۵	۱۹۸۵-۱۹۹۶	.

جدول ۳- همبستگی میانگین دمای سالانه جاسک و فراسنج‌های مورد بررسی طی فازهای سه‌گانه

فازها	نوسانات اطلس شمالی	نوسانات جنوبی	کلف‌های خورشیدی
اول	-۰/۱۶۰۱	-۰/۲۰۸۳	۰/۲۰۶۱
دوم	-۰/۲۹۵۷	-۰/۱۴۶۱	۰/۰۰۱۵
سوم	-۰/۱۰۴۳	۰/۰۳۴۱	۰/۱۱۹

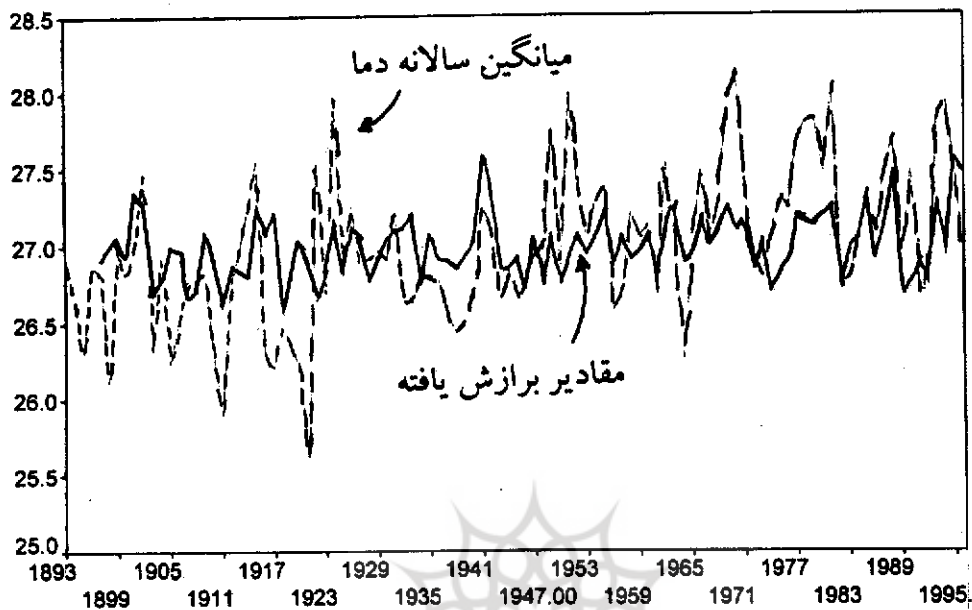
روشی دقیق‌تر برای بررسی اثر فراسنج‌های مورد بررسی، مطالعه همبستگی آماری بین میانگین دمای سالانه جاسک و فراسنج‌های مورد بررسی طی سه فاز مزبور است. نتایج محاسبات در جدول ۳ ارائه شده است. دیده می‌شود که رابطه دمای سالانه در جاسک با نوسانات شمالی منفی است. این بدان معنی است که میانگین سالانه دما تحت تأثیر هجوم تروده هوای اطلسی می‌باشد. همان‌گونه که پیش‌تر نیز اشاره نمودیم همبستگی بین کل دوره آماری دما و نوسانات شمالی ( $-0.3202 = -0.2$ ) نیز منفی و در سطح  $0.05$  معنادار است. رابطه دما با نوسانات جنوبی در دو فاز نخست معکوس و در فاز سوم مثبت می‌باشد. در حالی که این رابطه برای کل دوره آماری ( $-0.1466 = -0.2$ ) منفی اما در سطح  $0.05$  معنی دار نیست. بنابراین به نظر می‌رسد که مقدار تبدیل شده یا تأخیری نوسانات جنوبی بر دمای جاسک اثر می‌گذارد، بنابراین چهار مقدار تبدیل شده نوسانات جنوبی (ریشه دوم، لگاریتم طبیعی، ریشه سوم و معکوس) و همبستگی آنها با دمای جاسک را محاسبه نموده‌ایم. همچنین رابطه نوسانات جنوبی با تأخیرهای مختلف نیز محاسبه شده است. حاصل محاسبات گویای مناسب بودن رابطه دما و نوسانات جنوبی با یک سال تأخیر است. میزان این رابطه منفی ( $-0.2131 = -0.05$ ) و در سطح  $0.05$  معنی دار است. این به مفهوم اثرگذاری میانگین سالانه نوسانات جنوبی با یک سال تأخیر بر میانگین سالانه دمای جاسک است.

تلash برای یافتن بهترین شکل رابطه بین کلف‌های خورشیدی و درجه حرارت جاسک تبدیل سینوسی برای کلف‌های خورشیدی و تأخیر  $5$  را پیشنهاد می‌کند. در این نوع تبدیل رابطه خطی بین دما و کلف‌های خورشیدی ( $0.2766 = 0.05$ ) حاصل شد.

بنابر آنچه که گفته شد برای توجیه دمای هر سال رابطه‌ای به شرح زیر به دست آمد:

$$T = 27.05 - 0.2982 \text{ NAO}_{t-1} - 0.013 \text{ SOI}_{t-1} + 0.178 \sin \text{ sunspots}_{t-5}$$

در این فرمول اندیس  $t$ ، مشخص کننده سال است و  $t-1$  یک سال قبل از سال مورد نظر است.  $\sin$  نشان‌دهنده سینوس (رادیان) برای لکه‌های خورشیدی است و اندیس  $t-5$  گویای متأثر شدن دما از لکه‌های خورشیدی  $5$  سال قبل است. میزان همبستگی حاصل از رابطه بالا ( $0.44741 = 0.2$ ) بسیار قوی و در سطح  $0.05$  معنی دار است. ضریب تعیین ( $0.20017 = 0.2^2$ ) گویای این است که کمی بیش از  $20\%$  تغییرات بلند مدت دما تحت تأثیر سه فراسنج مورد بررسی است. نمودار  $5$  خط وایازی حاصل از رابطه یاد شده را به ما نشان می‌دهد.



نمودار ۵ - میانگین سالانه دما و مقادیر برآزش یافته از الگوی وايازی سه متغیره

### نتایج

در این تحقیق با استفاده از آمار ۱۰۴ ساله دمای جاسک، نوسانات اطلس شمالی، نوسانات جنوبی و کلف‌های خورشیدی سعی بر ارائه رابطه‌ای بین تمایل عمومی دما و روند بلندمدت سه فراستج دیگر بوده است. در این راستا با استفاده از روش‌های محاسبات منطقی (محاسبه اختلاف دو نیمة دوره مورد بررسی)، آماری (خط وايازی) و آماری - ترسیمی (هموارسازی) معلوم شد که روند عمومی دما در جاسک طی ۱۰۴ سال گذشته  $0.293 \pm 0.035$  درجه سلسیوس افزایش نشان داده است. فراستج‌های مورد بررسی می‌توانند بیش از ۲۰٪ تغییرات دمایی جاسک را توجیه کنند. جالب توجه است بدانیم که نوع و میزان تأثیر هر عامل به بزرگی آن عامل نسبت به میانگین درازمدت و جهت عمومی تغییرات آن عامل بستگی دارد.

مطالعه آماری فراستج‌ها نشان می‌دهد که یک عامل بهندرت می‌تواند تأثیر مستقیمی بر دما بجا بگذارد. این امر به دلیل مکانیزم زمان تعادل در سیستم اقلیمی است. در این میان فقط نوسانات اطلس شمالی اثر مستقیم و بدون تأخیر بر دمای

جاسک به جا می‌گذارد و آن نیز به دلیل اثرگذاری این عامل از طریق جابه‌جایی توده‌های هوایی و در چارچوب و محدوده اتمسفر است. زمان تأخیر در انتقال آبهای گرم اثر نوسانات جنوبی را با تأخیر یکساله به جا می‌گذارد. طبیعت کلفهای خورشیدی نیز حکایت از زمان تأخیر ۵ ساله برای تأثیر بر دمای جاسک دارد.

در مدلی ساده می‌توانیم تغییرات را وابسته به زمان بدایم در این صورت عامل اساسی در تعیین تغییرات، گذر زمان است. در این صورت مدل به شکل زیر خواهد بود:

$$T = 11.38 + 0.008026 Y$$

در اینجا  $T$  دما در سال  $Y$  است. ضریب همبستگی در این مدل  $49/0$  و ضریب تعیین  $24/0$  است. یعنی  $24$  درصد تغییرات با این مدل تبیین می‌شود.

لازم به ذکر است برخی عوامل دیگر از جمله، تغییر دیده‌بانها، جابه‌جایی ایستگاهها، تغییر ابزار اندازه‌گیری عناصر جوی و... قادر به ایجاد تغییرات کوتاه‌مدت در داده‌ها خواهد بود. بنابراین تغییرات بلندمدت (رونده) و طبیعت نوسانی آن در بازه‌های زمانی طولانی به ندرت از این گونه عوامل متأثر می‌شوند از این رو در مطالعه روند بلندمدت دما می‌توان از این قبیل عوامل چشم پوشی نمود. اما در هر صورت تأثیر عوامل مزبور بر تغییرات کوتاه‌مدت دما زمینه‌های تحقیقی مناسبی برای ارزیابی آثار آنها بر تغییرات دمایی می‌باشد، به ویژه برخی تغییرات به وقوع پیوسته در میانگین سالانه دما طی دهه  $1950$  به بعد ایده‌های مناسبی در مورد آثار انسانی بر تغییرات کوتاه‌مدت دما ارائه خواهند نمود.

## متابع

- ۱- چنفیلد، سی. مقدمه‌ای بر تحلیل سریهای زمانی، ترجمه حسینعلی نیرومند و ابوالقاسم بزرگ‌نیا، دانشگاه فردوسی، مشهد، ۱۳۷۲.
- ۲- قائمی، هوشنگ. هوشنگ انسانی عمومی، چاپ اول، انتشارات سمت، تهران، ۱۳۷۵.
- ۳- کاره، فرانسو. اقیانوسها، ترجمه محمود مصاحب، (مجموعه چه می‌دانم؟)، چاپ اول، انتشارات آموزش انقلاب اسلامی، تهران، ۱۳۶۸.
- ۴- کرایر، جاتان. تجزیه و تحلیل سریهای زمانی، ترجمه حسینعلی نیرومند، دانشگاه فردوسی، مشهد، ۱۳۷۱.
- ۵- کرلینجر، پدھاوزر. کاربرد رگرسیون چند متغیری در پژوهش‌های رفتاری، ترجمه حسن سوابی، جلد اول، مرکز نشر دانشگاهی، تهران، ۱۳۷۴.

- ۶- مدرس‌پور، آزاده. ناهنجاریهای اقلیمی و ENSO، پایان‌نامه کارشناسی ارشد فیزیک دریا، دانشگاه آزاد اسلامی، واحد شمال تهران، ۱۳۷۳.
- ۷- نتر و دیگران. آمار کاربردی، ترجمه علی عمبدی، جلد دوم، مرکز نشر دانشگاهی، تهران، ۱۳۷۴.
- ۸- ویتنیک، دیک. ار. کاربرد تحلیل رگرسیون، ترجمه حمید ابریشمی و تیمور محمدی، انتشارات دانشگاه تهران، تهران، ۱۳۷۴.
- 9- Bloomfield, P and Nychka, D. (1992). "Climate Spectra and Detecting Climate Change", Climate Change, 21, 275-287.
- 10- Carpenter, C. (1991). "The Changing World of Weather", GWNNESS, Pub. London.
- 11- Folland, C. K. et al. (1990). "Observed Climatic Variation and Change" Climate Change: The IPCC Scientific Assessment. Cambridge University press. 195-238.
- 12- Hansen. J. And Lebedeff, S. (1988). "Global Surface Air Temperature" Geo Lett. 15, 323-326.
- 13- Jones et al. (1986 a). "Northern Hemisphere Surface Air Temperature Variations 1851-1984" J. Climate Appl. Meteor 25, 161-179.
- 14- Jones et al. (1986 b). "Southern Hemisphere Surface Air Temperature Variation 1851-1984" J. Climate Appl meteor 25, 1213-1230.
- 15- Jones et al (1986 c). "Global Temperature Variation Between 1861 and 1984" Nature 322, 430-434.
- 16- Jones P.D (1988). "Hemispheric Surface Air Variation Recent Trend and An Update To 1987" J. Clim. 1 654- 660.
- 17- Nasraollah H. A and Balling Jr. R. C (1966). "Analysis of Recent Climatic Changes in The arabian Peninsula Region "Theor and Appl Climatology 53, 245-252.
- 18- WMO (1966). "Climate Change". Technical Note no. 79.
- 19- WMO (1998). "WMO / EMEP Workshop on Advanced Statistical Methods and Their Application to Air Quality Data". Helsinki 14-18 sep 1998 WMO no. 133.
- 20- WMO (2000). "Detecting Trend and Other Change In Hydrological Data" Geneva. WMO/td-no. 1013.